

تأثیر شرایط تغليظ و نگهداری بر رنگدانه های آب انار

مرتضی خان احمدی و محمد شاهدی

عضو هیئت علمی مرکز تحقیقات کشاورزی اصفهان و دانشیار

دانشکده کشاورزی دانشگاه صنعتی اصفهان

تاریخ پذیرش مقاله ۱/۲/۷۸

خلاصه

یکی از مهمترین فرایندهای تبدیلی انار تغليظ آب آن به منظور تولید کنسانتره و رب می باشد. دما و اکسیژن در طی این فرایند و نیز در طول مدت نگهداری محصول از عوامل تعیین کننده میزان تخریب رنگدانه های قرمز (آنتوسیانین ها) و تولید رنگدانه های قهوه ای در محصول هستند. در این تحقیق تأثیر عوامل فوق بصورت کمی بررسی شده و مشخص گردید که تابع سرعت تجزیه آنتوسیانین ها درجه اول و تابع سرعت افزایش غلظت رنگدانه های قهوه ای درجه صفر (یا ثابت) می باشد، افزایش نقطه جوش در فشار محیط با افزایش درصد مواد جامد محلول آن در طی تغليظ از یک چند جمله ای درجه ۲ پیروی می کند. همچنین بین ضایعات سرعت های مذکور و دما رابطه آرنسپر برقرار است. کلیه ضرائب این معادلات برای شرایط تحقیق محاسبه شده و یک مدل ریاضی جهت تعیین غلظت نسبی این دو رنگدانه ارائه شده است. نتیجه قابل توجه اینکه با کاهش مدت زمان تغليظ می توان بدون نیاز به خلاء، قسمت اعظم آنتوسیانین ها را حفظ نمود.

واژه های کلیدی : آب انار، آنتوسیانین، رب، نقطه جوش، دما و اکسیژن

مطلوبیت ، موارد استفاده و نهایتاً بازار مصرف آنرا افزایش داده و حتی در کشورهای خارجی نیز بازار مناسبی برای آن تأمین نمود . در حال حاضر تعداد محدودی واحد صنعتی نیز به تولید رب انار اشتغال دارند که محصول برخی از آنها خوب بوده و صادر می گردد ولی نمونه های محصول موجود در بازار ایران اغلب ، کیفیت بالایی ندارد. یکی از مهمترین جنبه های کیفیت رب انار رنگ آن می باشد که در این مقاله بررسی شده و یک مدل ریاضی برای روند تخریب رنگدانه های آب انار و ایجاد رنگ قهوه ای طی تغليظ آن ارائه می شود.

رنگدانه های غالب قسمت های مختلف میوه انار آنتوسیانین ها هستند . دلفینیدین -۳ و ۵ - دی گلوکرید، آنتوسیانین اصلی آب انار است (۱۲) . سیانیدین -۳ - گلوکرید ، دلفینیدین -۳ - گلوکرید ، سیانیدین -۳ و ۵ - دی گلوکرید در پرده های

مقدمه

انار یکی از میوه های بومی آسیای جنوب غربی و از جمله ایران است که سابقه کشت آن به چهار هزار سال می رسد . در سال های اخیر سطح زیر کشت و میزان برداشت انار در کل کشور افزایش یافته و از تولید پانصد هزار تن در سال ۱۳۶۷ به بیش از ششصد و سی هزار تن در سال ۱۳۷۳ بالغ گردیده است .

همه ساله درصد قابل توجهی از محصول انار به دلیل ریز بودن ، ترک خوردگی ، آفات سوختگی ، یا آفت زدگی از بین رفته یا به قیمت نازلی به بازار عرضه می شود و مقداری نیز به رب تبدیل می گردد.

رب انار تولیدی در سطح روستاهای کیفیت مناسبی برخوردار نبوده و به همین دلیل کاربرد محدودی داشته ، بازار چندانی برای آن وجود ندارد . در صورت بهبود روش تولید رب انار می توان

می دهد (۲۳، ۲۰، ۲۰، ۱۶، ۸ و ۵). بطوریکه نیمه عمر آنتوسبینین های آب یک نوع میوه^۴ در صورت وجود اکسیژن به یک سوم کاهش می باید (۱۳).

pH علاوه بر اینکه با تاثیر بر توزیع تعادلی چهار وضعیت ملکولهای آنتوسبینین میزان رنگ مرئی آنها را در محلول تعیین می کند، بر پایداری این ملکول های نیز موثر است بطوریکه آنتوسبینین ها در محیط های اسیدی نسبت به محیط های خشی پایدارترند. حضور اکسیژن pH بر این پایداری را تشدید می کند (۲۰، ۲۰، ۱۶ و ۵).

بعضی از ترکیبات حاصل از تجزیه قندها (بویژه فورفورال و دهیدروکسی متیل فورفورال) سرعت مورد بحث را بویژه در دماهای بالا افزایش می دهند (۵). ولی وجود ساکارز یک تأخیر دو ساعته را در آغاز تجزیه این ترکیبات موجب می گردد (۲۴).

حضور اسید آسکوربیک باعث بی رنگ شدن آنتوسبینین ها شده که ناشی از واکنش های تراکمی بین این دو ترکیب است (۲۰). یون های آهن، کلسیم، آلومینیم و قلع قادر به افزایش پایداری آنتوسبینین هاستند. به هر حال این یون ها با تانز ها کمپلکس های قهوه ای رنگ ایجاد می کنند (۱۵ و ۱۳).

از بین عوامل متعدد بررسی شده فقط اسید سیتریک نقش محافظت کننده را برای رنگدانه های مورد بحث ایفاء می کند (۲۵ و ۱۴). غلظت مواد جامد محلول نیز در بعضی شرایط بر سرعت تجزیه موثر است بطوریکه در مورد آنتوسبینین های تمشک افزایش بریکس محیط از ۱ به ۲۵، سرعت مزبور را افزایش می دهد در حالیکه افزایش بریکس از ۲۵ به ۵۰ تاثیر قابل ملاحظه ای ندارد (۵).

آب اثار حاوی انواع ترکیبات فوق الذکر است که بر پایداری و سرعت تجزیه آنتوسبینین ها موثرند: در هر یکصد گرم از آب اثار ۵/۱۱ الی ۱/۱۱ میلی گرم اسید آسکوربیک گزارش شده است (۲۰ و ۲۰)، غلظت یون های مس آب اثار بین ۹/۰ ppm و ۳/۰ ppm شده اند (۱۰ و ۱)، اسیدیته کل در آب اثارهای مختلف بین ۰/۰۳ و ۷٪ الی ۶٪ بر حسب اسید سیتریک گزارش گردیده است (۲۲، ۲۲ و ۱)، در صد مواد جامد محلول آب اثار نیز بسته به عوامل

داخلی^۱ و چهار آنتوسبینین از گلوکزیدهای پلارگونیدین و سیانیدین در پوسته خارجی اثار موجودند (۱، ۲۱، ۱۷، ۶ و ۳).

توزیع بارهای الکتریکی در نقاط مختلف ملکول آنتوسبینین به چهار وضعیت متفاوت منجر می گردد که فقط بعضی از آنها رنگی هستند. چهار وضعیت مزبور در محلول در حال تعادل هستند علاوه بر نوع آنتوسبینین و pH، دما و ترکیباتی که به صورت برگشت پذیر یا برگشت ناپذیر با آنها واکنش می دهند نیز بر غلظت های در حال تعادل این چهار وضعیت (و در نتیجه رنگ آنتوسبینین) مؤثرند (۱۵).

آنتوسبینین ها ترکیبات ناپایداری بوده و تحت تاثیر عوامل مختلف تجزیه و به محصولات مختلف قهوهه ای رنگ تبدیل می گردد که در صدی از آنها به صورت رسوب از محلول جدا می شوند. رنگدانه های قهوهه ای در اثر واکنش های کارامیلزاسیون، میلارد و ایجاد کمپلکس بین تانز ها و یون های فلزی نیز تولید می شوند.

بررسی های سینتیک تجزیه آنتوسبینین ها نشان داده که این سرعت از نوع درجه اول^۲ می باشد و کاهش غلظت آنها در طی زمان یک روند نمایی را طی می کند (۲۴). یکی از محققین سرعت مزبور را از نوع درجه صفر اعلام نموده است (۱۸).

عوامل مختلفی مانند دما، اکسیژن، pH، اسید آسکوربیک، یون های فلزی و قندها و محصولات تجزیه آنها بر سرعت تحریب آنتوسبینین ها موثرند. تجزیه آنتوسبینین ها مانند اغلب واکنش ها با افزایش دما به میزان چشمگیری تسريع می گردد. بطوریکه نیمه عمر این ترکیبات در صفر درجه سانتیگراد یا زده ماه، در ۲۴°C پنجاه و چهار روز، در ۳۸°C ده روز و در ۱۰۰°C ۱۰ کمتر از یک ساعت است. رابطه آربنوس بیانگر تغییرات سرعت تجزیه با دما بوده و در این رابطه اثری فعال سازی^۳ تجزیه حرارتی پلارگونیدین-۳-گلوکرید ۲۷ کیلوکالری به ازای هر مول رنگدانه برآورد شده است (۱۴). همچنین این مقدار برای آنتوسبینین های آب اثار در دامنه دمایی بین ۹۰°C تا ۷۰°C حدود ۲۵ کیلوکالری بر مول تعیین شده است (۱۳).

اکسیژن نیز اثری مشابه دما دارد و حضور آن سرعت انهدام آنتوسبینین ها و به ویژه تشکیل رنگدانه های قهوهه ای را افزایش

گردیدند.

- تهیه آب انار: انارها با استفاده از کارد از جنس فولاد زنگ نزن برشده شده و به کمک دست دانه های آنها جدا گردید. سپس با استفاده از یک پرس دستی دانه های محصول فشرده شده و آب آنها جدا گردید. آب انار حاصل به مدت ۲ ساعت در ظروف شیشه ای یا پلاستیکی بصورت ساکن قرارداده شد تا کلوئیدها و ذرات معلق آن ته نشین گردد. سپس لایه زلال بالایی (حدود ۸۰٪ از کل حجم آب انار اولیه) جهت انجام آزمایش های لازم به ظرف دیگری منتقل گردید. وزن هر نمونه از انارها بسته به میزان آب انار مورد نیاز برای آزمایش، دو تا ده کیلوگرم بود.

- تغليظ: تغليظ آب انار به رب (بریکس حدود هفتاد) در بشرهای یک لیتری روی هات پلیت، یا در ظروف آلومینیمی بر روی اجاق گاز انجام گرفت. تنظیم زمان تغليظ با تغيير حجم آب انار اولیه یا تغيير شدت حرارت دهی امکان پذیر بود.

- حرارت دهی در دمای 10°C : برای ثابت نگه داشتن دما در آزمایش هایی که به منظور تعیین سرعت تجزیه آنتوسیانین هادردمای 5°C انجام می گرفت، از یک سیستم برگشت^۱ ساده استفاده گردید. بدین ترتیب بریکس نمونه در حال جوشش در مقدار ثابت (بریکس ۷۰) نگهداشته شد تا دما در 10°C ثابت ماند.

- حرارت دهی در دمای کمتر از نقطه جوش: بررسی سرعت تخریب آنتوسیانین هادر دمای 60°C و 84°C با قرار دادن ظروف شیشه ای در پوش دار حاوی آب انار داخل حمام آب داغ انجام گرفت. به منظور تعیین اثر اکسیژن بر سرعت مزبور تعدادی از ظروف شیشه ای کاملاً از آب انار پرشده و تعدادی دیگر به صورت نیمه پر در حمام آب داغ قرارداده شدند و درب ظروف نیمه پر در طی آزمایش

مختلف بین ۱۵ تا ۱۹ درصد می باشد.

در اثر تغليظ آب انار به بریکس حدود ۷۰، غلظت اغلب ترکیبات فوق الذکر تدریجاً افزایش یافته به حدود پنج برابر مقدار اولیه می رسد (به همین دلیل pH نیز کاهش می یابد). بدین ترتیب آثار توان این عوامل بر پایداری و سرعت تجزیه آنتوسیانین های آب انار وجود داشته و شدت این آثار در طی تغليظ تغيير می کند بطوریکه از اطلاعات مربوط به آنتوسیانین ها در محیط غیر از آب انار نمی توان سرعت تجزیه آنها در طی تغليظ آب انار را پیشگویی نمود و بنابراین لازم است این سرعت و نیز سرعت تولید رنگهای قهقهه ای (که مجموعاً تعیین کننده رنگ محصول هستند) در طی تغليظ و در شرایط مختلف، مستقل از مطالعه و اندازه گیری شده و مدل ریاضی برای استفاده از این داده ها در طراحی سیستم های تغليظ ارائه گردد.

مواد و روشها

- انار: بدليل اينكه در صنعت و نيزدر باعهای تولید اين محصول، رب انار از مخلوط ارقام مختلف انار هر منطقه تهیه می شود در اين تحقیق نیز محلوطی از ارقام عمده انارهای منطقه ارستان مورد استفاده قرار گرفت. طی بررسی که در ارتباط با توزیع ارقام مختلف در نمونه های انار مورد استفاده به عمل آمد نتایج زیر حاصل گردید: بطورکلی pH متوسط و اسیدیته متوسط برحسب اسید سیتریک در نمونه های آب انار مورد استفاده در آزمایشهای این پروژه به ترتیب حدود ۳/۵ و ۹۵٪ بود.

انارهای مورد نیاز پس از برداشت به محل آزمایشگاه منتقل و میوه های شکسته و معیوب آن جدا شده و تمام نمونه ها تا هنگام مصرف در سردخانه در دمای 40°C در رطوبت تقریبی ۷۵٪ نگهداری

رنگ دانه ها	قرمز روش	سفید و قرمز کم رنگ	قرمز تیره
نسبت در مخلوط آب انار	% ۵۰	% ۲۵	% ۲۵
شدت جذب در ۲۰ نانومتر	۳/۴	۳/۵۴	۳/۰۸
(غلظت نسبی آنتوسیانین ها)	۲/۸۴	۲/۴۱	۶/۸

نتایج و بحث

به منظور تعیین سرعت تجزیه آنتوسیانین ها در شرایط مختلف، غلظت این ترکیبات بر حسب زمان اندازه گیری گردید. دو عامل مهم در این رابطه دما و اکسیژن می باشند. شکل ۱ نتایج حاصل از اندازه گیری غلظت آنتوسیانین های آب انار نگهداری شده در دماهای مختلف را در حضور اکسیژن و نیز در غیاب آن نشان می دهد. تاثیر مشخص دما در این نمودار بوضوح دیده می شود بطوریکه در دمای 60°C در غیاب اکسیژن نیمه عمر آنتوسیانین ها حدود ۷۵ ساعت و در 84°C تقریباً ۱۵ ساعت است. از طرف دیگر حضور اکسیژن سرعت تخریب را به میزان قابل ملاحظه ای افزایش می دهد. در دمای 60°C وجود اکسیژن باعث کاهش نیمه عمر از ۷۵ ساعت به ۳۰ ساعت و در 84°C از ۱۵ ساعت به ۱۰ ساعت می شود. روند تجزیه آنتوسیانین ها در دامنه وسیعتر دما در حضور اکسیژن در شکل (۲) آمده است. همانطور که در این شکل نشان داده شده نیمه عمر آنتوسیانین ها در 10°C حدود یک ساعت و در 105°C نیم ساعت می باشد. بدین ترتیب افزایش 4°C دما موجب دو برابر شدن سرعت مذبور گردیده است.

سرعت تجزیه آنتوسیانین ها در دماهای مختلف نگهداری نیز اندازه گیری و نتایج نشان داد که در دمای 5°C در غیاب اکسیژن نیمه عمر آنتوسیانین ها حدود ۶ ماه، ولی در حضور اکسیژن به ۳ ماه تقلیل می یابد و اگر دمای محصول به دمای محیط برسد، این زمان در حضور اکسیژن به حدود یک ماه کاهش می یابد.

نکته قابل توجه اینکه تمام منحنی های ترسیم شده در شکلهای مذکور نمایی هستند که با دقت بسیار خوب (98%) بر داده ها منطبق می باشند. این امر نشان دهنده درجه یک بودن تابع سرعت تجزیه آنتوسیانین هاست.

وابستگی سرعت تجزیه به دما در ضریب سرعت (k) مستر است. این وابستگی برای اغلب واکنش ها از رابطه آرنیوس پیروی می کند. (تاثیر سایر عوامل از جمله وجود اکسیژن بر سرعت تجزیه در ثابت آرنیوس (A) منظور گردیده است). مقادیر محاسبه شده ضرائب k برای هر یک از منحنی های ترسیم شده در شکل های ۱، ۲، ۳ ارائه شده است.

خط ممتد و خط فاصله دار در این شکل وضعیت مطلوب تطبیق معادله آرنیوس بر یافته ها را نشان می دهد ($98\% = 98\%$). بر

چندین بار و در هر بار به مدت پنج دقیقه جهت تبادل اکسیژن برداشته شد.

- نمونه برداری: به منظور اندازه گیری روندتغییرات غلظت آنتوسیانین ها، رنگدانه های قهوه ای، دانه سیته، و بریکس در فواصل زمانی معین مقدار لازم از آب انار هر نمونه برداشته و تا هنگام اندازه گیری در یخچال نگهداری گردید.

- اندازه گیری آنتوسیانین ها: اندازه گیری مقدار کل آنتوسیانین در نمونه ها به روش فولکی و فرانسیس^(۹) انجام گرفت. هر نمونه ابتدا با استفاده از آب مقطر بحدی رقيق شد که بریکس آن برابر با بریکس آب انار اولیه گردد. در مرحله بعد دو حجم یکسان از نمونه رقيق شده برداشته شد و با افروزن نه حجم بافرهای مختلف به هر حجم از آن، pH یکی از ایندو در حدود ۱ و دیگری در حدود ۵/۴ تنظیم گردید. ترکیب بافرها برای آب انارهای مورد آزمایش بشرح زیر بود: بافر برای حصول $\text{pH} = ۱$ یک حجم کلرید پتاسیم $۲/۰$ نرمال + یک حجم اسید کلرید کلرید ریک $۲/۰$ نرمال بافر برای حصول $\text{pH} = ۵/۴$ ، ۱۲ حجم آب ، ۱۰ حجم استات سدیم $۱/۰$ نرمال + ۳ حجم اسید کلرید ریک ۱ نرمال

پس از تنظیم pH، نمونه ها به مدت دو ساعت در تاریکی قرار داده شدند تا چهار وضعیت مختلف ملکول آنتوسیانین در شرایط جدید بحال تعادل برسند. نهایتاً نمونه ها در $۴۰\text{ }^{\circ}\text{C}$ دور در دقیقه به مدت ده دقیقه تحت تاثیر نیروی گریز از مرکز قوار گرفت و شدت جذب رنگ آنها در ۵۱۰ نانومتر قرائت گردید. روشن است که تفاضل شدت جذب رنگ در دو pH، متناسب با غلظت کل آنتوسیانین می باشد.

- اندازه گیری غلظت رنگدانه های قهوه ای: برای تعیین میزان افزایش غلظت رنگدانه های قهوه ای در نمونه حرارت دهی شده نسبت به آب انار تازه، نمونه مورد نظر و نیز آب انار تازه استفاده از بافر دارای $\text{pH} = ۴/۵$ و شاهد ده باز رقيق شده و سپس شدت جذب نور هر یک در طول موج ۴۱۰ نانومتر اندازه گیری شد. بدینهی است که تفاضل شدت جذب نمونه و آب انار تازه متناسب با غلظت رنگدانه های قهوه ای تولید شده در نمونه بود. دلیل انتخاب طول موج ۴۱۰ نانومتر، داشتن بیشترین شدت جذب توسط رنگدانه های قهوه ای مورد نظر در اطراف این طول موج می باشد.

شکل ۶ روند افزایش شدت جذب رنگ قهقهه‌ای آب انار را در طی تغییط در شرایط مختلف ارائه می‌دهد. تاثیر دما بر سرعت ایجاد رنگهای قهقهه‌ای در این شکل کاملاً مشهود است. همانطور که دیده می‌شود در هر شرایط میزان جذب نور نسبت به زمان بصورت خطی افزایش می‌یابد. به عبارت دیگر سرعت افزایش غلظت رنگدانه‌های قهقهه‌ای در آب انار از درجه یک است و تغییرات ثابت سرعت با دما از رابطه آرنسپس پیروی می‌کند شکل ۷. در غیاب اکسیژن، ضریب سرعت حدود ۲۰٪ کاهش می‌یابد.

- مدل ریاضی:

بر مبنای نتایج فوق می‌توان تغییرات غلظت آنتوسبیانین ها و نیز رنگدانه‌های قهقهه‌ای آب انار را بر اثر گذشت زمان و با توجه به شرایط حرارت دهی و میزان حضور اکسیژن با استفاده از مدل زیر پیش‌گویی کرد.

$$Br = \frac{Br_0}{1 - [q / (\Delta h_{\text{evp}} \cdot M_0)]\theta} \quad (1)$$

$$T_b = a_0 + a_1 Br + a_2 Br^2 \quad (2)$$

$$\ln \frac{n_A}{n_{A0}} = - \int k_A d\theta \quad (3)$$

$$k_A = A_A \exp(-\frac{E_A}{RT}) \quad (4)$$

$$n_B = \int V k_B d\theta \quad (5)$$

$$k_B = A_B \exp(-\frac{E_B}{RT}) \quad (6)$$

در این روابط Br_0 بریکس آب انار در لحظه شروع حرارت دهی و Br بریکس آن پس از گذشت زمان θ شدت جریان انتقال گرمایی به آب انار، و M_0 وزن اولیه نمونه و V حجم آن در زمان θ است. Δh_{evp} گرمایی نهان تبخیر آب، T_b نقطه جوش در فشار محیط، n تعداد مول، k ثابت سرعت، E انرژی فعال سازی و A ثابت آرنیوس است. اندیس A مربوط به آنتوسبیانین ها، اندیس B مربوط به رنگدانه‌های قهقهه‌ای، و اندیس 0 مربوط به لحظه شروع حرارت دهی می‌باشد.

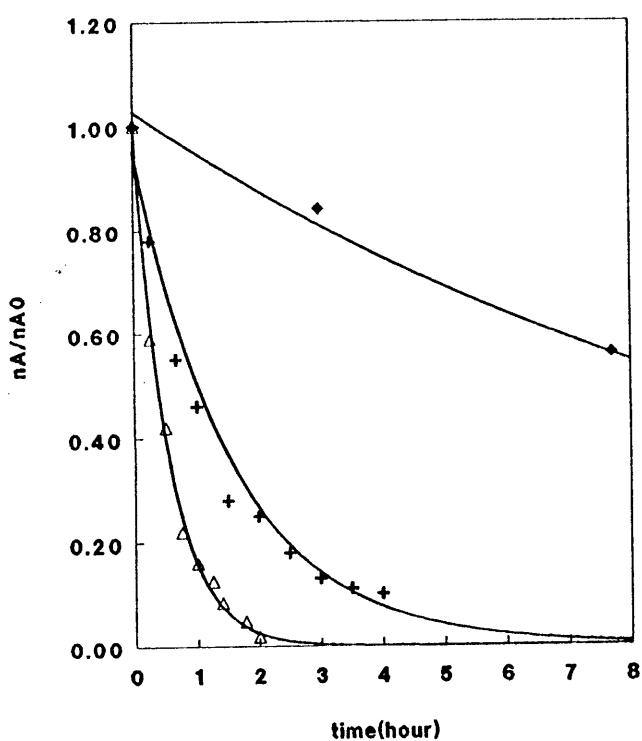
برای نمونه های آب انار آزمایش شده مقادیر عددی ثابت های بکار

اساس تطبیق انجام گرفته در این شکل انرژی فعال سازی^۱ تجزیه آنتوسبیانین ها ۲۳/۶ کیلو کالری به ازای هر مول آنتوسبیانین است که با مقدار ۲۵ کیلو کالری به ازای فرمولی که توسط میشکین و ساگوی (۱۸) ارائه شده همراهانگی دارد در غیاب اکسیژن نیز این انرژی تقریباً همین مقدار بوده ولی ضریب A به نصف کاهش می‌یابد.

- تغییرات سرعت تجزیه آنتوسبیانین ها طی تغییط آب انار در فشار محیط: آنچه تاکنون ارائه گردید در رابطه با حرارت دهی بدون تغییر حجم نمونه بود. در طی تغییط آب انار به منظور تهیه رب تغییر حجم چشمگیری بوقوع پیوسته و حجم نهایی آن به یک پنجم حجم اولیه کاهش می‌یابد. نظر به اینکه سرعت تجزیه آنتوسبیانین ها در آب انار بصورت درجه اول می‌باشد لذا تغییر حجم، تغییری در سرعت تجزیه بوجود نیاورده و بنابراین با استفاده از روابط مربوطه باید بتوان در هر لحظه در صد مولی آنتوسبیانین باقی مانده را محاسبه نمود. شکل ۴ تغییرات در صد مولی اندازه گیری شده آنتوسبیانین باقی مانده در آب انار را طی تغییط نشان می‌دهد. همانطور که دیده می‌شود در اکثر مدت تغییط تغییرات از یک معادله نمایی پیروی می‌کند. البته در دقایق پایانی، روند تجزیه بنحو بارزی تسريع یافته و از منحنی مربوط به این معادله منحرف گردیده است. دلیل این امر افزایش نقطه جوش نمونه با افزایش بریکس آن است شکل ۵. روند تغییرات نقطه جوش با افزایش بریکس بخوبی از یک چند جمله‌ای درجه ۲ پیروی می‌کند.

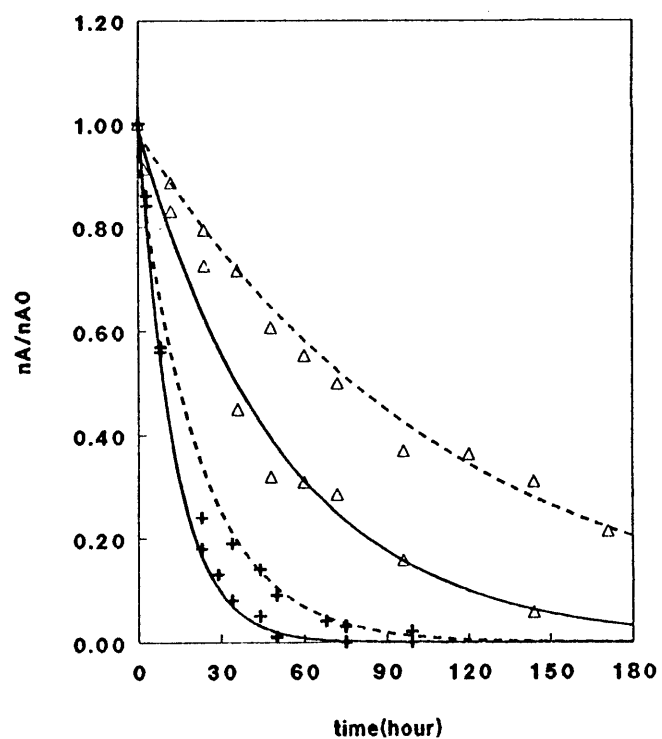
همانطور که در شکل ۵ دیده می‌شود در دامنه بریکس کمتر از ۵۰، نقطه جوش تغییر زیادی نمی‌کند ولی در بریکس های بالاتر به سرعت افزایش می‌یابد. نکته قابل توجه اینکه مدت زمان لازم برای افزایش بریکس از ۵۰ به ۷۰ در مقایسه با زمان کل تغییط اندک است و به همین دلیل انحراف حاصل در شکل ۴ مربوط به لحظات پایانی تغییط می‌باشد.

- روند افزایش غلظت رنگدانه های قهقهه‌ای طی حرارت دهی: رنگدانه‌های قهقهه‌ای در اثر انجام چند واکنش مختلف از جمله تجزیه آنتوسبیانین ها و واکنش های کاراملیزاسیون و میلارد تولید می‌شود که هر یک مکانیزم متفاوت و بعضی ناشناخته ای دارند علاوه بر این بخشی از مواد قهقهه‌ای رنگ تولید شده رسوب می‌کنند.



شکل (۲): روند کاهش غلظت رنگدانه های آنتو سیانین آب انار در طی نگهداری در دمای های مختلف آب انار در دو دمای مختلف

۱۰۵°C : (Δ) ۱۰۱°C : (+) ۸۴°C : (♦)

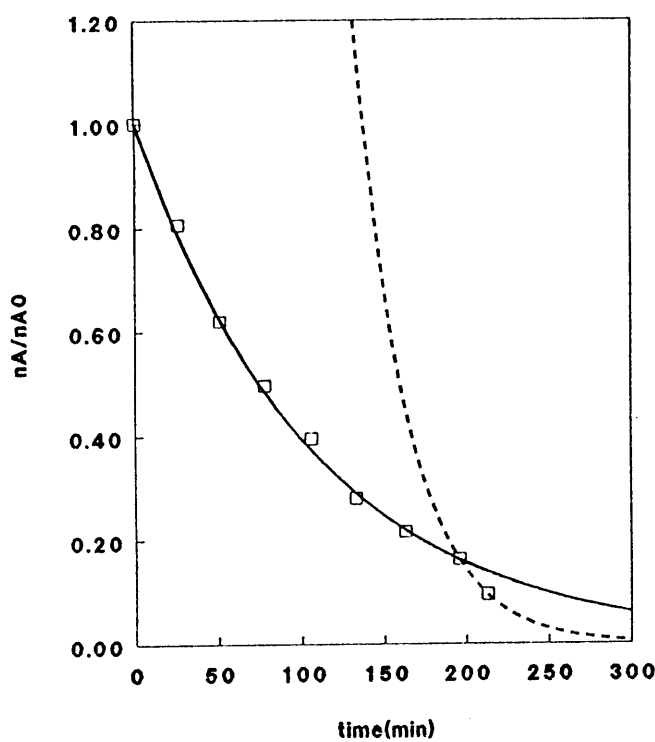


شکل (۱): تاثیر حضور اکسیژن بر روند کاهش غلظت رنگدانه های آنتو سیانین

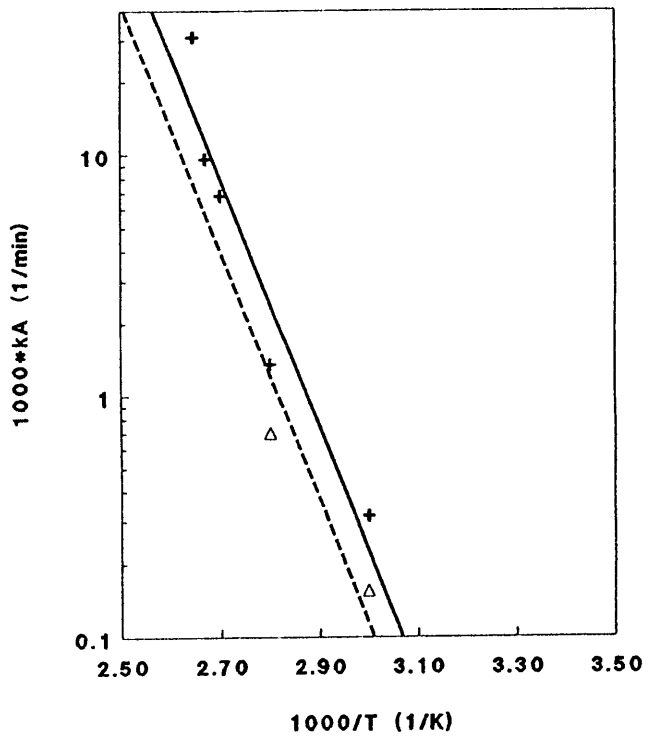
آب انار در دو دمای مختلف

(Δ—Δ): دمای ۱۰۵°C در حضور اکسیژن ، (+—+): دمای ۸۴°C در حضور اکسیژن

(Δ---Δ): دمای ۱۰۵°C در غیاب اکسیژن ، (+----+): دمای ۸۴°C در غیاب اکسیژن

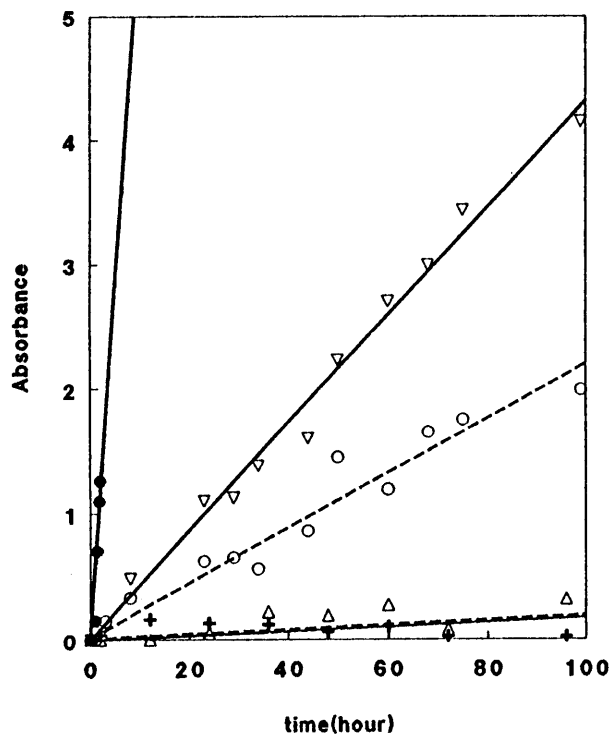


شکل (۴): روند کاهش رنگدانه های آنتو سیانین آب انار طی تخلیط در فشار محیط (□) ، و مقایسه آن با معادله سرعت درجه اول تجزیه آنتو سیانین های آب انار در دمای ۹۷°C (—) و دمای ۱۰۵°C (----)

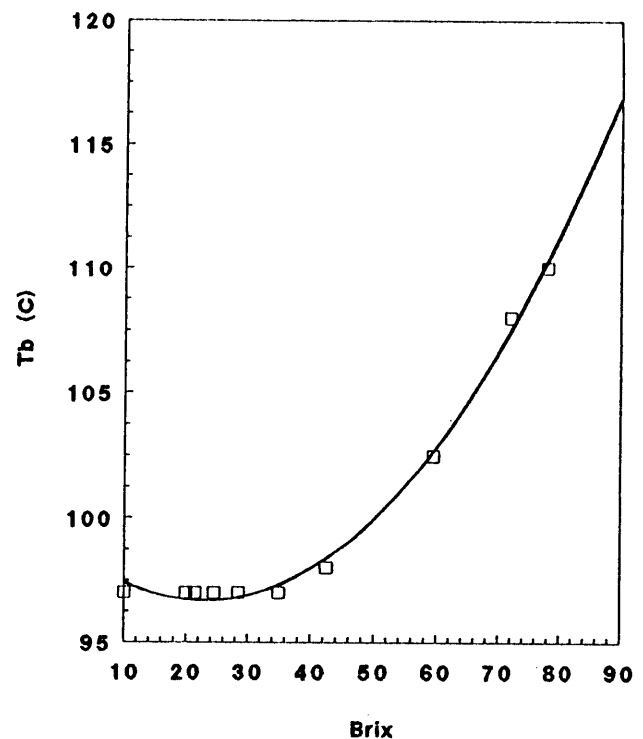


شکل (۳):وابستگی ضریب سرعت تخریب آنتو سیانین ها به دما

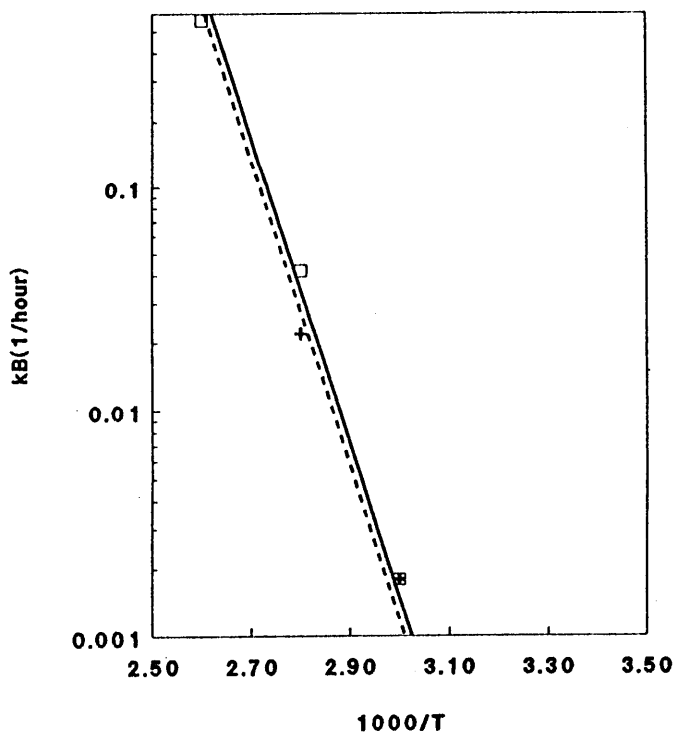
(+): در حضور اکسیژن ، (Δ): در غیاب اکسیژن



شکل (۴): روند افزایش رنگدانه های قهوه ای در آب انار در شرایط مختلف
 ۶۰ °C: (+) ۸۴ °C: (○) ۸۴ °C: (▽) ۱۰۵ °C: (●)
 ۱۰۵ °C: (Δ)



شکل (۵): اثر افزایش بrix آب انار بر نقطه جوش آن



شکل (۶): وابستگی ضریب سرعت تولید رنگ های قهوه ای به دما

پژوهش حدود ۲٪ بوده است و β ضریب تبدیل شدت جذب نمونه در ۴۱۰ نانومتر به غلظت رنگدانه های قهوه ای آن است . با توجه به عدم وجود نمونه های استاندارد این رنگدانه ها، بدست آوردن مقدار عددی β امکان پذیر نبود . به هر حال در صورت عدم وجود مقادیر عددی α_0 و β می توان ایندو را از رابطه A_B حذف نمود که در این صورت غلظت رنگدانه های قهوه ای بجای mol/lit/mol در حسب شدت جذب بدست خواهد آمد .

سپاسگزاری

بدینوسیله از مدیریت محترم موسسه تحقیقات فنی و مهندسی کشاورزی و مرکز تحقیقات کشاورزی اصفهان بدليل فراهم آوردن امکانات لازم تشکر می شود همچنین از آقایان مجید زیدی و امرالله شاهین بخاطر همکاری در انجام آزمایشات و آقای محسن ٹربکی طباء برای تایپ مقاله قدردانی می گردد .

رفته در مدل فوق بقرار زیر ند

$$a_0 = 99/0.6 \quad ({}^{\circ}\text{C}) \quad a_1 = -0.207 \quad a_2 = 0.0045 \quad ({}^{\circ}\text{C})$$

$$A_A = 6/9 \times 10^{11} \quad A_B = \left(\frac{1}{\text{min}} \right) 5 \times 10^{17} \times \alpha_0 \beta \quad (\text{mol/lit.hour})$$

$$E_A = 22600 \quad \text{cal/mol} \quad E_B = 21500 \quad \text{cal/mol}$$

در غیاب اکسیژن مقدار A_A حدود ۵۰٪ و A_B حدود ۲۰٪ کاهش می یابد .

شکل انتگرالی روابط (۳) و (۵) برای مواردی استفاده می شود که تغییرات دما یا حجم در طی فرآیند حرارت دهی وجود داشته باشد . همچنین در مواردی که فرآیند تنظیط به منظور تبدیل آب انار به رب صورت گیر داثر افزایش نقطه جوش ناشی از افزایش بریکس با استفاده از روابط (۱) و (۲) منظور می گردد .

α_0 در رابطه A_B شدت جذب قرائت شده برای آب انار تازه رقیق شده در pH=4.5 و طول موج ۴۱۰ نانومتر می باشد که مقدار عددی α_0 برای نمونه های آب انار آزمایش شده در این

مراجع مورد استفاده

- شکرانی، ر، و، م . رجایی . "مقایسه ترکیبات ارقام مختلف انار" سمینار بررسی مسائل انار ایران کرج ، ۱۳۶۶ ، ص ۱۶۰ تا ۱۶۲
2. Agrawal, S. & A. Chandra. 1991. Note on physico-chemical characteristics of pomegranate fruit. Current-Agriculture 15(1/2) : 65-66.
3. Botrus, D. , T.F Zykina, L.I. Kostinskaya, & G.A. Golovchenko. 1984. Polyphenol compounds in pomegranates. Izvestiya-Vysshikh- Uchebnykh - Zavedenii - Pishchevaya-Tekhnologiya (3) : 117-119. [In the World Leading Food Science Database 1990-1994 Silver Platter International/V.V.]
4. Cemeroglu, B. , N. Artik & S. Erbas. 1992. Extraction and composition of pomegranate juice. Fluessinges-obst. 59(6):335-340. [In the World Leading Food Science Database 1990-1994 Silver Platter International/V.V.]
5. Darvingas, G. & R.F. Cain. 1965. Changes in antocyanin pigment of raspberries during processing and storage. J. of Food Sci. 30 : 400-405.
6. Du, C.T. , P.L. Wang & F.J. Francis. 1975. Antocyanins of pomegranate, *Punica granatum*. J. of Food Sci. 40(2) : 417-418.
7. El-Nemr, S.E. , I.A. Ismail & M. Ragab. 1992. The chemical composition of the juice and seeds of pomegranate fruits. Fruit Processing 2(11) : 162-164. [In the World Leading Food Science Database 1990-1994 Silver Platter International/V.V.]
8. Erlandson, J.A. & R.E. Worlstad. 1972. Degradation of antocyanins at limited water concentration. J. of Food Sci. 37:592-595.

9. Fuleki, T. & J.F. Francis. 1968. Quantitative methods for anthocyanins: 2.Determination of total anthocyanin and degradation index for Cranberry juice . J. of Food Sci. 33:78-83.
10. Fuzailov, Yu. M. 1969. Cu and Fe contents of some fruits , vegetables, and vegetable juices from the Fergana valley. Voprosy Pitaniya 28(4):72-74. [In the World Leading Food Science Database 1990-1994 Silver Platter International/V.V.]
11. Grigor'eva, M.P. & E.N. Stepanova. 1970. Determination of ascorbic acid in foods. Voprosy Pitaniya 29(3): 32-37. [In the World Leading Food Science Database 1990-1994 Silver Platter International/V.V.]
12. Harborne 1967. Comparative Biochemistry of Flavonoids. Academic Press , NewYork.
13. Kallio, H. , S. Pallasaho , J. Karppa & R.R. Linko. 1986. Stability of anthocyanins 2 in crowberry juice. in The Shelf Life of Foodsand Beverages , G. Charalamabous (Ed.), Proceedings of 4th International Flavor conference, Rhodes, Greece, 23-26 July 1985 P.285-292. Elsevier Science Publishers B.V., Amsterdam.
14. Main, J.H. , F.M. Clydesdale & F.J. Francis. 1978. Spray drying anthocyanin concentrates for use as food colorants. J. of Food Sci. 43 : 1693-1697.
15. Markakis, P. 1982 Stability of anthocyanins in foods. in Anthocyanins as Food Colors , Markakis , P.(Ed.) P. 165-180 , Academic press Znc, Newyork.
16. Markakis, P. , G.E. Livingston & C.R. Fellers. 1957. Quantitative aspects of strawberry pigment degradation. Food Research 22:117-130.
17. Markh, A.T. & T.A. Lysogor. 1973 , Polyphenols in pomegranates. Izvestiya Vysshikh Uchebnykh Zavedenii Pishchevaya Tekhnologiya (2):36-38. [In the World Leading Food Science Database 1990-1994 Silver Platter International/V.V.]
18. Mishkin, M. & I. Saguy. 1982. Thermal stability of pomegranate juice. Zeitschrift to Fuer Lebensmittel Untersuchung and Forschung 175(6) : 410-412. [In the World Leading Food Science Database 1990-1994 Silver Platter International/V.V.]
19. Mudambi, S.R. & M.V. Rajagopal. 1977. Vitamin C content of some fruits grown in Nigeria. J. of Food Technol. 12(2):189-191.
20. Nebesky, E.A. , W.B. Esselen , J.E.W. McConnell & C.R. Feller. 1949. Stability of color in fruit juices . Food Research 14:261-274.
21. Pifferi, P.G. , R. Cultrara & L. Baldassari. 1972. Natural pigment studies VII. Pomegranate anthocyanins. Scienza-e-Tecnologia degli Alimenti 2(5):307-310. [In the World Leading Food Science Database 1990-1994 Silver Platter International/V.V.]
22. Saxena, A.K. , J.K. Manan & S.K Berry. 1987. Pomegranates postharvest technology, chemistry and processing. Indian Food Packer (July-Aug. 1987) : 43-59. [In the World Leading Food Science

Database 1990-1994 Cilver Platter International/V.V.]

23. Starr, M.S. & F.J. Francis. 1968. Oxygen and ascorbic acid effect on the relative stability of four antocyanin pigments in cranberry juice. *Food Technol.* 22(10):91-93
24. Tinsley, I.J. & A.H. Bockian. 1960. Some effects of sugar on the breakdown of plargonidin-3-glucoside in model Systems at 90 °C. *Food Research* 25:161-173.
25. Worlstad, R.E., T.P. Putnam & G.W. Varsevell. 1970. Color quality of frozen straw berries : effect of antocyanin , pH , total acidity, and ascorbic acid variability. *J. of Food Sci.* 35:448-452.

Pomegranate Juice Pigments as Affected by Conditions of Concentration and Storage

M. KHAN-AHMADI AND M. SHAHEDI

Instructor of Agricultural Research Center of Isfahan, Associate Prof., Department
of food Science, Faculty of Agriculture, Isfahan University of Technology

Accepted April 21, 1999

SUMMARY

Concentration of juice to paste with a long shelf life is the process that is most widely used for pomegranate in Iran. In this process temperature and oxygen have determining effects on the destruction of anthocyanins and production of brown pigments. In this research the above mentioned factors were quantitatively investigated and it was demonstrated that:

- 1- Rate of anthocyanin destruction is one of first order.
- 2- Rate of increase in concentration of soluble brown pigments follows an order of zero.
- 3- The above mentioned rate constants have Arrhenius relation with temperature.
- 4- Boiling point rise for pomegranate juice has a second order relation with the brix.

Keywords: Pomegranate juice, Anthocyanins Paste, Boiling point, Temperature & Oxygen